

(HUANJING KEXUE)

# ENVIRONMENTAL SCIENCE

第36卷 第2期

Vol.36 No.2

2015

中国科学院生态环境研究中心 主办

科学出版社出版



### ENVIRONMENTAL SCIENCE

第36卷 第2期 2015年2月15日

### 目 次

青海省西宁市和天峻县大气颗粒物中有机氯农药和类二噁英多氯联苯的水平与分布
李秋旭,何畅,马召辉,马丽花,扎西卓玛,王英,金军(402) 北京10个常绿树种颗粒物吸附能力研究 ————————————————————————————————————
张全,李秋华,黄国佳,欧腾,李钥,吴迪,周黔兰,高廷进(438) 长江河口水库沉积物磷形态、吸附和释放特性 金晓丹,吴昊,陈志明,宋红军,何义亮(448) 黄河口溶解无机碳时空分布特征及影响因素研究 郭兴森,吕迎春,孙志高,王传远,赵全升(457) 苕溪干流悬浮物和沉积物的磷形态分布及成因分析 陈海龙,袁旭音,王欢,李正阳,许海燕(464) 滇池表层沉积物氮污染特征及其潜在矿化能力
山东省典型工业城市土壤重金属来源、空间分布及潜在生态风险评价 … 戴彬,吕建树,战金成,张祖陆,刘洋,周汝佳(507) UV 协同 CIO。去除三氯生及其降解产物的研究 李玉瑛,何文龙,李青松,金伟伟,陈国元,李国新(516) 氯化铁絮凝-直接过滤工艺对地下水中As(V)的去除机制研究 摩莱,段晋明,景传勇(523)负载纳米零价铁铜藻基活性炭的制备及其去除水中Cr(VI)的研究 曾淦宁,武晓,郑林,伍希,屠美玲,王铁杆,艾宁(530)
磁性石墨烯吸附水中 Cr(VI)研究
掺铁 TiO <sub>2</sub> 纳米管阵列模拟太阳光光电催化降解双酚 A 的研究 · · · · · · 项国梁,喻泽斌,陈颖,徐天佐,彭振波,刘钰鑫(568) 天然矿物负载 Fe/Co 催化 H <sub>2</sub> O <sub>2</sub> 氧化降解阳离子红 3R · · · · · · · · · · · · · · · · · ·
O 池溶解氧水平对石化废水 A/O 工艺污染物去除效果和污泥微生物群落的影响
不问这代程度半早早尿峽收叉对模拟氮儿牌受化的响应 
川中丘陵县域土壤氮素空间分布特征及其影响因素 ··········罗由林,李启权,王昌全,李冰,张新,冯文颖,翁倩,吴冕(652) 黄土丘陵区土地利用变化对深层土壤活性碳组分的影响 ····································
水稻不同生育期根际及非根际土壤砷形态迁移转化规律 · · · · · · · · · · · · · · · · · · ·
锯齿新米虾对 Cu²+ 和毒死蜱毒性的生理响应 ————————————————————————————————————

# $TiO_2$ @酵母复合微球固定床吸附荧光增白剂-VBL的研究

吴菲1,张凯强1,白波2\*,王洪伦2,索有瑞2

(1. 长安大学环境科学与工程学院,西安 710054; 2. 中国科学院西北高原生物研究所,西宁 810001)

摘要: 研究了  $TiO_2$ @酵母复合微球在固定床中吸附阴离子型荧光增白剂-VBL( FWA-VBL) 的特性,考察了溶液  $pH(2.0 \sim 8.0)$ 、床层高度(1~3 cm)、进水浓度(20~80 mg·L<sup>-1</sup>)和进水流速(5~11 mL·min<sup>-1</sup>)等因素对固定床吸附特性的影响. 结果表明在溶液 pH 为 2.0,床层高度为 1 cm,进水浓度为 80 mg·L<sup>-1</sup>和进水流速为 5 mL·min<sup>-1</sup>时,吸附剂的最大吸附量为 223. 80 mg·g<sup>-1</sup>. BDST、Thomas 和 Yoon-Nelson 模型均能很好地描述不同条件下动态吸附行为,相关系数均大于 0. 980. 同时,  $TiO_2$ @酵母复合微球具有很好的再生性能,可以重复利用 4 次.

关键词:TiO,@酵母;固定床;FWA-VBL;模型;再生

中图分类号: X703.1 文献标识码: A 文章编号: 0250-3301(2015)02-0545-07 **DOI**: 10.13227/j. hjkx. 2015. 02.023

# Adsorption of the TiO<sub>2</sub>@ Yeast Composite Microspheres for Adsorbing Fluorescent Whitening Agent-VBL in Fixed Bed

WU Fei<sup>1</sup>, ZHANG Kai-qiang<sup>1</sup>, BAI Bo<sup>2\*</sup>, WANG Hong-lun<sup>2</sup>, SUO You-rui<sup>2</sup>

(1. College of Environmental Science and Engineering, Chang'an University, Xi'an 710054, China; 2. Northwest Plateau Institute of Biology, Chinese Academy of Sciences, Xining 810001, China)

**Abstract:** In this work, the adsorption potential of  $TiO_2$ @ yeast composite microspheres to remove Fluorescent Whitening Agent-VBL (FWA-VBL) from aqueous solution was investigated using fixed-bed adsorption column. The effects of pH(2.0-8.0), bed height (1-3 cm), inlet concentration (20-80 mg·L<sup>-1</sup>) and feed flow rate (5-11 mL·min<sup>-1</sup>) on the breakthrough characteristics of the adsorption system were determined. The results showed that the highest bed capacity of 223. 80 mg·g<sup>-1</sup> was obtained under the condition of pH 2.0, 80 mg·L<sup>-1</sup> inlet dye concentration, 1.0 cm bed height and 5 mL·min<sup>-1</sup> flow rate. The adsorption data were fitted to three well-established fixed-bed adsorption models, namely, BDST model, Thomas model and Yoon-Nelson model. The results fitted well to the three models with coefficients of correlation  $R^2 > 0.980$  in different conditions. The  $TiO_2$ @ yeast composite microspheres have desired regeneration ability and could be reused for four times.

Key words: TiO, @ yeast; fixed bed; FWA-VBL; models; regeneration

FWA-VBL是一种性质独特、应用广泛的荧光染料,在造纸、纺织、洗涤等工业中微量添加剂可达到增白锃亮的效果<sup>[1]</sup>. 然而,荧光增白剂的生产或使用过程中不免会产生大量含有荧光增白剂的废水. 由于荧光增白剂属于典型的芳香族杂化合物,具有生物毒性强,可生化性差的特点<sup>[2]</sup>. 因而有效处理含荧光增白剂的废水成为一个目前亟待解决的行业问题.

酵母菌作为一种优良的吸附剂,具有价廉、易得、环境友好等特点. 长期以来酵母菌在重金属离子、染料废水的选择性去除方面得到了广泛认可<sup>[3,4]</sup>. 最新研究表明,以酵母菌为主体核心,纳米TiO<sub>2</sub> 为客体粒子,静电自组装构建的草莓型结构TiO<sub>2</sub>@酵母复合微球吸附剂可使得酵母菌的生物吸附功能和纳米TiO<sub>2</sub> 光催化降解有机物功能在微纳米尺度上得到充分整合<sup>[5]</sup>. 即复合微球不仅较好保

留了酵母菌细胞壁的天然吸附能力,还同时使得其具备了原位再生功能<sup>[6]</sup>. 研究也证实,在间歇式吸附-再生反应器中,该复合吸附剂对染料废水表现出了较好的处理效果<sup>[7]</sup>,达到了降低二次污染,吸附剂重复利用的目的. 然而,间歇式吸附反应处理量小,可操作性差,处理速度慢,仅仅适用于实验规模研究,距工业化应用较远;与间歇式吸附反应相比,固定床吸附过程属于连续流动性操作. 其特点是处理量大,效率高,能耗低和可靠性高,适合于规模化应用<sup>[8,9]</sup>.

收稿日期: 2014-08-26; 修订日期: 2014-10-08

基金项目: 国家自然科学基金项目(21176031);中央高校基本科研业务费专项(2013G2291015);大学生创新创业训练计划项目(201410710059)

作者简介:吴菲(1990~),女,硕士研究生,主要研究方向为纳米催化及污染物治理,E-mail;wfei0991@163.com

\* 通讯联系人,E-mail: baibochina@163. com

据此,本研究以 TiO<sub>2</sub>@ 酵母复合微球为吸附剂,FWA-VBL 废水为处理对象,旨在考察固定床中 TiO<sub>2</sub>@ 酵母复合微球对 FWA-VBL 废水的吸附特性. 本研究主要考察了溶液 pH、进水浓度、床层高度和进水流速等因素对固定床吸附效果的影响,建立了固定床吸附模型; 对吸附饱和的复合吸附剂进行原位再生,并多次重复利用. 研究结果对荧光增白剂生产废水的处理具有重要的参考价值,并且对固定床工业化处理染料废水具有一定的借鉴.

### 1 材料与方法

#### 1.1 材料和仪器

材料: $TiO_2(P_{25})$ ,德国德固赛公司;酵母菌,河北安琪酵母有限公司;氢氧化钠(NaOH),硫酸( $H_2SO_4$ ),西安化学试剂厂;无水乙醇,安徽安特生物化学有限公司;实验用水为蒸馏水.FWA-VBL,(CAS RN:12224-16-7;最大吸收波长  $\lambda$  = 349 nm;分子式: $C_{36}H_{34}O_8N_{12}S_2Na_2$ ),陕西省石油化学工业研究设计院.化学结构式如下所示.

主要仪器:pH 酸度计,上海精密仪器厂;752N 紫外可见分光光度计,上海精密科学仪器有限公司; TE124S 电子天平,赛多利斯科学仪器(北京)有限公司;多功能磁力搅拌器,杭州仪表电机厂;101-1AB 恒温干燥箱,天津泰斯特仪器有限公司等.

### 1.2 TiO,@酵母复合催化剂的制备与表征

称取 1.000 g 的干酵母,分别用蒸馏水和无水乙醇分别清洗 3 次,离心,将所得酵母细胞沉淀分散于 320 mL 蒸馏水中,缓慢滴加 H₂SO₄(1 mol·L⁻¹)调节悬浮液 pH 值为 2 ~ 3. 称取0.160 0 g TiO₂ 粉末将其分散在 320 mL 蒸馏水中使其溶解,并滴加NaOH (1 mol·L⁻¹)调节悬浮液 pH 值为 9 ~ 10. 将所得的两种悬浮液磁力搅拌 30 min 后,分别离心分离并将沉淀物混合置于 320 mL 蒸馏水中搅拌 1 h,使二者充分接触,陈化 3 h,再经高速离心分离.分离所得固体样于 80℃下恒温干燥以后,并在室温下使其冷却,即可得到所需的 TiO₂@ 酵母复合微球. FE-SEM, Hitachi S-4800 冷场发射扫描电镜表征形貌.

### 1.3 FWA-VBL 废水的吸附方法

固定床实验采用自制装置. 吸附柱材料为玻璃材质,直径为10 mm,吸附柱底部与上部各加一层塑料网布以防止吸附过程中吸附剂的流失. 底部进水,上部出水.

配制1000 mg·L<sup>-1</sup>的 FWA-VBL 废水溶液. 在 其他因素不变的条件下分别研究进水 pH、进水浓 度、床层高度、进水流速对吸附床穿透曲线的影 响. 在固定床中填充定量 TiO<sub>2</sub>@ 酵母复合微球材 料,固定床出水每间隔 5 min 时间采集出水,测定染料的吸光度 A 值,当出水浓度  $c_t$  (mg·L<sup>-1</sup>)达到进水浓度  $c_0$  (mg·L<sup>-1</sup>)的 5% 时的时间点为穿透点,直到  $c_t$  达到  $c_0$  的 98% 时停止测量,固定床达到饱和.根据标准曲线算出出口浓度  $c_t$  (mg·L<sup>-1</sup>),同时计算出最大吸附量  $g_s$  (mg·g<sup>-1</sup>).

#### 1.4 吸附剂的再生和循环使用

在吸附条件分别为溶液 pH 为 2. 0,进水浓度为 20 mg·L<sup>-1</sup>,床层高度为 1 cm 和进水流速为 5 mL·min<sup>-1</sup>时,进行吸附实验,直到出水浓度为进水浓度的 98% 时停止实验. 再将固定床中的吸附剂回收置于 100 mL 烧杯中,开启 300 W 高压汞灯的电源,紫外光照射直接照射并不断搅拌吸附剂,使得紫外光可以充分照射到吸附剂表面,1 h 后关灯并将吸附剂烘干后在相同条件下进行同样的吸附实验. 同样的方法循环数次.

### 2 结果与讨论

### **2.1** TiO<sub>2</sub>@ 酵母复合微球 FE-SEM 表征

将 TiO<sub>2</sub> 和酵母通过静电自组装的方法制备出了类似于草莓结构的复合微球.图 1 为不同放大倍数下 TiO<sub>2</sub>@ 酵母复合微球的 FE-SEM 图.由图 1(a)可以看出,TiO<sub>2</sub>@ 酵母复合微球的分散性良好,大小均一,形状也基本保持了酵母原本的椭球状.由图 1(b)可以看出,TiO<sub>2</sub>@ 酵母复合微球的粒径长(2.6±0.5) μm; 宽(2.0±0.3) μm.同时,复合微球表面粗糙,这是由于粒径大的酵母表面部分被一层粒径较小的 TiO<sub>2</sub> 白色颗粒所包裹,从而形成了类似于

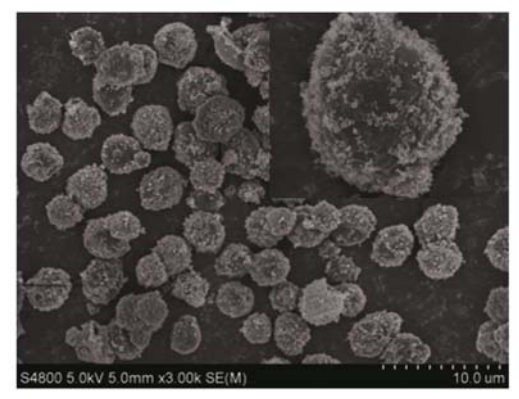




图 1 不同放大倍数下 TiO,@酵母的 FE-SEM 图

Fig. 1 FE-SEM images of TiO2@ yeast under different magnifications

草莓结构的复合微球.

### 2.2 吸附的影响因素研究

### 2.2.1 溶液 pH 对穿透曲线的影响

为考察溶液 pH 对吸附透过曲线的影响, 当溶 液进口浓度为 50 mg·L<sup>-1</sup>,流速为 5 mL·min <sup>-1</sup>,吸附 床中 TiO,@ 酵母复合吸附剂的高度为1 cm 时,进行 了溶液 pH 分别为 2.0、5.0 和 8.0 的吸附实验,吸 附穿透曲线如图 2 所示. 从中可知,不同 pH 值下 FWA-VBL 在 TiO,@ 酵母固定床上的吸附穿透曲线 随着 pH 值的增加向左偏移,穿透时间随着 pH 值的 增加逐渐缩短. 由此说明,酸性条件有利于 TiO,@ 酵母对 FWA-VBL 的吸附,而碱性条件可能会抑制 吸附过程的进行. 这是因为 FWA-VBL 是阴离子型 的染料,在溶液中 FWA-VBL 分子呈负电性. 同时, TiO, 的等电点为 6.8, 酵母的等电点为 3.3, 在不同 的 pH 下,它们各自表面所带电性随 pH 值的变化而 变化[10,11]. 在酸性条件下(pH < 3.3), TiO,@ 酵母 复合微球表面带正电,因此带负电荷的染料分子与 带正电荷的吸附剂正好正负相吸,促进了吸附的进 行. 当 pH 值大于 3.3 而小于 6.8 时,附着在酵母上 的 TiO<sub>2</sub> 表面依旧带正电,但对于对吸附起主要作用 的酵母而言,其表面的羟基逐渐离解成 COO-,酵母 表面所带负电荷数量增加,与阴离子电荷相斥,从而 吸附效果明显减弱[12]. 当 pH 值大于 6.8 时, TiO, @酵母复合微球表面带负电,与呈负电性的 FWA-VBL 分子负负电荷相斥;同时溶液中 OH - 增多,更 加抑制了吸附的进行.

### 2.2.2 溶液进水浓度对穿透曲线的影响

在溶液 pH 值为 2.0,床层高度 1 cm,进水流速为  $5 \text{ mL} \cdot \text{min}^{-1}$ 的条件下,考察进水浓度分别为 20、50、 $80 \text{ mg} \cdot \text{L}^{-1}$ 时对穿透曲线的影响,结果如图 3 所

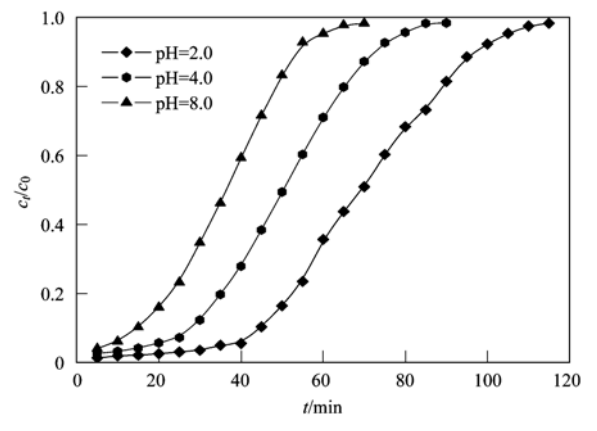


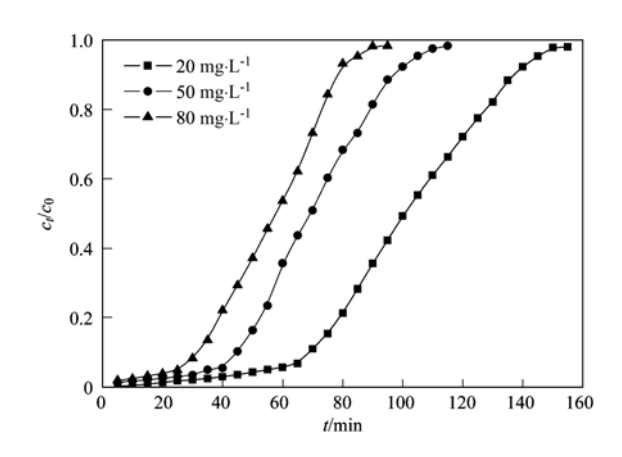
图 2 不同 pH 下 FWA-VBL 在  $TiO_2$  @酵母固定 床上的吸附穿透曲线

Fig. 2 Breakthrough curves for FWA-VBL adsorption in fixed bed at different pH

示. 吸附穿透时间随着浓度的增加而缩短,吸附剂单位时间吸附的 FWA-VBL 染料量增加,因而吸附床达到穿透点的速度快. 随着进水 FWA-VBL 浓度的增大,其穿透曲线越来越陡. 这可能是因为随着进水浓度的增加,其传质驱动力逐渐增大,增加了传质区移动速度,并降低了移动一个传质区长度所需的时间,也就缩短了传质区长度,因此进水浓度使穿透曲线变陡,拖尾部分拉长[13].

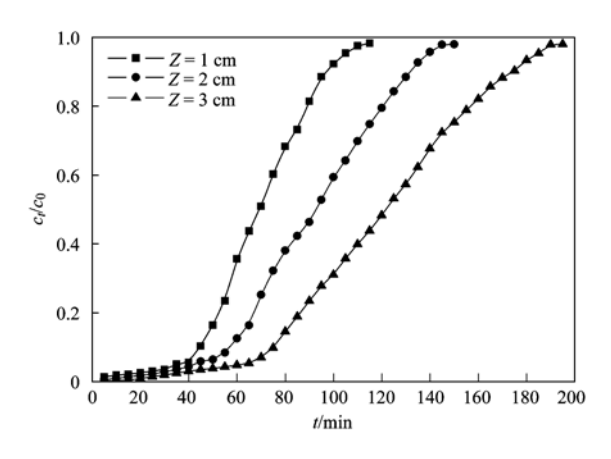
### 2.2.3 床层高度对穿透曲线的影响

当溶液 pH 为 2. 0,进水浓度为 50 mg·L<sup>-1</sup>,进水流速为 5 mL·min<sup>-1</sup>时,在不同的床层高度下测定  $TiO_2$ @ 酵母固定床对 FWA-VBL 的吸附性能,绘制的穿透曲线如图 4 所示. 床层高度分别为 1、2、3 cm 时,吸附床的穿透时间分别为 25、35、55 min,随着  $TiO_2$ @ 酵母固定床床层高度的增加,吸附质 FWA-VBL 与吸附剂  $TiO_2$ @ 酵母之间的接触时间增加,延迟了穿透时间. 同时,随着床层高度的增加,



### 图 3 不同进水浓度下 FWA-VBL 在 TiO<sub>2</sub>@酵母 固定床上的吸附穿透曲线

Fig. 3 Breakthrough curves for FWA-VBL adsorption in fixed bed at different concentration



# 图 4 不同床层高度下 FWA-VBL 在 $TiO_2$ @ 酵母 固定床上的吸附穿透曲线

Fig. 4 Breakthrough curves for FWA-VBL adsorption in fixed bed at different bed height

吸附剂的吸附位点增多,吸附过程中分子内扩散区域变大,也会使穿透时间推迟<sup>[14]</sup>.

#### 2.2.4 不同进水流速对穿透曲线的影响

进水流速是吸附床操作中的重要参数,直接影响吸附剂与吸附质的接触时间,进而影响吸附的传质速率.实验分别选取 5、8、11 mL·min<sup>-1</sup>这 3 个流速,在进水 pH 为 2.0,进水浓度为 25 mg·L<sup>-1</sup>,床层高度为 1 cm 的条件下绘制穿透曲线如图 5 所示.从中可以看出,随着溶液流速的升高,吸附透过曲线的穿透时间提前.这是因为随着流速的增大,流体与 TiO<sub>2</sub>@ 酵母表面接触时间较短,二者吸附不完全.同时,可能还因为在吸附过程中,流量主要影响传质区移动速度,同时也影响传质区长度,流量越大,传质区移动速度越快,从而穿透时间缩短,这与相关报道是一致的<sup>[15,16]</sup>. 当 FWA-VBL 溶液流速升

高时,曲线斜率略有升高,这是因为在较高的流速下,包围在 TiO<sub>2</sub>@ 酵母表面的液膜变薄,从而液膜阻力减少,所以吸附速率加快.

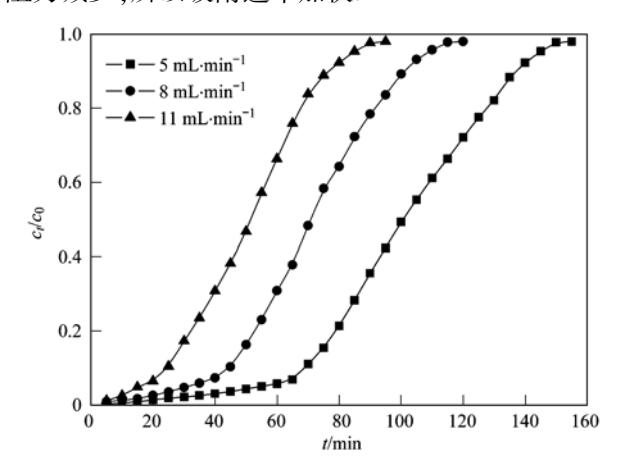


图 5 不同进水流速下 FWA-VBL 在 TiO<sub>2</sub> @ 酵母 固定床上的吸附穿透曲线

Fig. 5 Breakthrough curves for FWA-VBL adsorption in fixed bed at different flow rate

#### 2.3 穿透曲线的模型拟合

### 2.3.1 BDST 模型拟合结果

BDST 模型是最普遍的应用于固定床吸附的简化模型之一,是用来描述床层高度、时间、吸附过程浓度和吸附参数之间关系的模型. BDST 模型是假设吸附速率受控于吸附剂与吸附质的表面反应过程. 模型线性形式如下[17]:

$$t = \left(\frac{N_0 Z}{c_0 Q}\right) - \left(\frac{1}{c_0 k}\right) \ln\left(\frac{c_0}{c_t} - 1\right)$$

式中,k:吸附速率常数[L·(mg·min)<sup>-1</sup>];  $N_0$ :最大吸附容量(mg·L<sup>-1</sup>).  $N_0$  和 k 分别由 t 对应ln( $c_0/c_t$ -1)作图得到,其结果见表 1 所示.

从表 1 中可知,不同操作条件下 BDST 模型的 穿透曲线拟合的参数与实验数据所得穿透曲线相 关性良好,  $R^2$  均大于 0.980. 随着床层高度的增加,速率常数 k 逐渐减小,而单位体积的吸附容量  $N_0$  逐渐增大,这是床层高度的增加使染料分子的停留时间增长所致. 随着进水浓度的增加,速率常数 k 显著减小,而单位吸附容量  $N_0$  逐渐增大,这主要是随着床层高度的增加,在固定床内的吸附位点和停留时间也增加,从而 k 值减小,  $N_0$  增大. 随着进水流速的增大, k 值和  $N_0$  均在逐渐增大, 但是增大不明显, 这说明 BDST 模型也可以用来预测其他范围内的流速 [18]. 通过分析可知, 较高的床层高度, 较小的流速都有利于该固定床吸附反应的进行.

表 1	不同操作条件下	BDST 模型拟合参数

Table 1 F	itting parameters	of BDST	model under	different	operating conditions
-----------	-------------------	---------	-------------	-----------	----------------------

				]	BDST		
pН	Z/cm	$c_0 \ / \mathrm{mg} \cdot \mathrm{L}^{-1}$	F /mL∙min <sup>-1</sup>	$N_0 \times 10^4$ /mg·L <sup>-1</sup>	$k \times 10^{-3}$ /L·(mg·min) <sup>-1</sup>	$R^2$	
2. 0	1	50	5	1.71	1. 58	0. 985	
5. 0	1	50	5	1.21	1. 93	0. 989	
8. 0	1	50	5	0.87	2. 31	0. 993	
2. 0	1	50	5	1.71	1. 58	0. 985	
2. 0	2	50	5	1.94	1. 19	0. 991	
2.0	3	50	5	2.01	0.96	0. 986	
2.0	1	20	5	0.99	3.04	0. 986	
2. 0	1	50	5	1.71	1.58	0. 985	
2. 0	1	80	5	2. 16	1. 16	0. 981	
2. 0	2	20	5	0. 99	3. 04	0. 986	
2. 0	2	20	8	1. 12	3.77	0. 995	
2. 0	2	20	11	1. 13	4. 44	0. 995	

### 2.3.2 Thomas 模型拟合结果

Thomas 模型被广泛应用于固定床吸附的理论研究,通过该模型可以得出固定床中吸附剂的饱和吸附量和,对于工业化应用具有重要意义. 其线性形式如下所示[19]:

$$\ln\!\left(\frac{c_0}{c_t} - 1\right) = \left(\frac{k_{\rm th}q_{\rm e}M}{Q}\right) - \left(\frac{k_{\rm th}c_0V_{\rm eff}}{Q}\right)$$

式中, $k_{th}$ :Thomas 模型常数[ mL·( mg·min )  $^{-1}$  ];  $q_e$ : 理论单位吸附量( mg·g $^{-1}$  );  $k_{th}$ 和  $q_e$  分别由  $\ln(c_0/c_t-1)$  对应 t 作图得到,其结果见表 2 所示.

由表 2 可知, 当床层高度增高时,  $k_{th}$ 有所减小,  $TiO_2$ @ 酵母吸附剂对 FWA-VBL 的平衡吸附量  $q_e$  也 明显增加; 当进水浓度增加时,  $k_{th}$ 的值逐渐减小, 而

平衡吸附量  $q_e$  显著升高,原因是较高的浓度梯度为吸附提供了驱动力,所以吸附量增大;当 FWA-VBL 染料分子溶液积水流速增加时, $k_h$ 增大,而平衡吸附量  $q_e$  减小,这是因为 FWA-VBL 染料分子与吸附剂的接触时间变短,FWA-VBL 染料分子没有进入吸附剂内部,说明整个动态过程是外部传质主导作用. 由表 2 还可看出,在不同操作条件下,理论单位吸附量  $q_{exe}$ 之间误差很小,在不同操作条件下的  $R^2$  均大于0.980,所以 Thomas 模型可以用来描述不同条件下  $TiO_2$ @ 酵母对 FWA-VBL 的动态吸附行为,也可以用来预测实验. 这与同样研究吸附床模型的报道一致[20,21].

表 2 不同操作条件下 Thomas 模型拟合参数

Table 2 Fitting parameters of Thomas model under different operating conditions

				Thomas			
pН	Z/cm	$c_0/\mathrm{mg}\!\cdot\!\mathrm{L}^{-1}$	F/mL·min -1	$k_{\rm th} \times 10^{-3}$	$q_{ m e}$	$q_{ m exe}$ /mg $\cdot$ g $^{-1}$	$R^2$
				/mL·(mg·min) -1	/mg•g <sup>-1</sup>		
2. 0	1	50	5	1. 55	171. 16	173. 61	0. 985
5.0	1	50	5	1. 91	121. 51	124. 55	0. 989
8.0	1	50	5	2. 29	86. 73	89. 01	0. 992
2. 0	1	50	5	1. 55	171. 16	173. 61	0. 985
2.0	2	50	5	1. 18	194. 26	195. 01	0. 991
2. 0	3	50	5	0. 95	201. 14	200. 75	0. 986
2.0	1	20	5	3. 00	99. 70	101.06	0. 986
2.0	1	50	5	1. 55	171. 16	173. 61	0. 985
2.0	1	80	5	1. 14	216. 58	223. 80	0. 981
2. 0	1	20	5	3. 00	99. 70	101.06	0. 986
2. 0	1	20	10	3. 75	111. 74	111. 19	0. 995
2. 0	1	20	15	4. 42	112 31	109. 59	0. 995

#### **2.3.3** Yoon-Nelson 模型拟合结果

Yoon-Nelson 模型是一个半经验模型,该模型不需要考虑吸附速率和床层高度等固定床特性,所需已知参数较少,形式简单,得到的  $t_{0.5}$ 值可以用于比较吸附速率.该模型方程的线性形式如下

所示[22]:

$$\ln\left(\frac{c_t}{c_0 - c_t}\right) = K_{YN}t - \tau K_{YN}$$

式中,  $K_{YN}$ : 吸附速率常数  $(min^{-1})$ ;  $\tau$ : 出水 FWA-VBL 浓度为进水浓度的 50% 时所需要的时间

 $(\min)$ .  $K_{YN}$ 和  $\tau$  分别由  $\ln \left[ c_t / (c_0 - c_t) \right]$ 对应 t 作图

得到,其结果见表3所示.

表 3 不同操作条件下 Yoon-Nelson 模型拟合参数

Table 3	Fitting	narameters	of :	Yoon-Nelson	model	under	different	operating conditions

	Z/cm	$c_0$	F	Yoon-N	Velson	- t <sub>0.5</sub> /min	$R^2$
рН	Z/cm	$/\mathrm{mg} \cdot \mathrm{L}^{-1}$	/mL·min <sup>-1</sup>	$K_{\rm YN}/{\rm min}^{-1}$	$K_{\rm YN}/{\rm min}^{-1}$ $\tau/{\rm min}$		K-
2. 0	1	50	5	0. 08	68. 5	70. 0	0. 985
5. 0	1	50	5	0. 10	48. 6	50. 0	0. 989
8. 0	1	50	5	0. 11	34. 6	35. 0	0. 992
2. 0	1	50	5	0.08	68. 5	66. 0	0. 985
2. 0	2	50	5	0.06	91.4	90. 0	0. 991
2. 0	3	50	5	0.05	121.4	120. 0	0. 986
2. 0	1	20	5	0.06	99.7	100.0	0. 986
2. 0	1	50	5	0.08	68. 5	66. 0	0. 985
2. 0	1	80	5	0.09	54. 1	55. 0	0. 981
2. 0	2	20	5	0.06	99. 7	100. 0	0. 986
2. 0	2	20	10	0.07	70. 5	71. 0	0. 995
2. 0	2	20	15	0.09	50. 6	50. 0	0. 995

Yoon-Nelson 模型对不同操作条件下的穿透曲线拟合结果见表 3. 分析结果表明, Yoon-Nelson 模型对各操作条件下的穿透曲线拟合具有很好的效果,相关系数  $R^2$  均大于 0. 980. 实验得出的  $t_{0.5}$  与拟合后计算得出的  $\tau$  值相比相差较小且与实验结论一致,这说明 Yoon-Nelson 模型能够较好地预测 FWA-VBL 在  $TiO_2$  @ 酵母固定床上的穿透特性. 还可看出,速率常数  $K_{YN}$  均随着溶液 pH、进水浓度和进水流速的增大而增大,随着床层高度的增加而减小. 与此相反,50% 浓度下的突破时间  $\tau$  值均随着溶液 pH,进水浓度和进水流速的增大而减小,随着床层高度的增加而增加. 这个结果正好与有关报道吸附床的结论相似[<sup>23,24]</sup>.

### 2.4 吸附剂再生和重复利用

吸附剂的再生是研究固定床吸附一个不可忽略的环节. TiO<sub>2</sub>@酵母复合微球特殊的草莓型结构决定了该吸附剂具有很好的再生性能. 这是因为附着在酵母表面的 TiO<sub>2</sub> 受到能量大于或者等去其禁带宽度的电子照射时, TiO<sub>2</sub> 中处于价带的电子被激发跃迁到带上形成强还原性的导带电子(e<sup>-</sup>). 同时价带上产生一个强氧化性的价带空穴(h<sup>+</sup>). 电子和空穴或直接和吸附在 TiO<sub>2</sub> 表面的染料分子反应,或与水分子和溶解氧发生一系列反应,生成强氧化性的·OH、O<sup>2-</sup>. 断裂掉的染料分子有机物质会在·OH和 O<sup>2-</sup> 的作用下生成 CO<sub>2</sub>、H<sub>2</sub>O 和其他一些矿物酸. 同时,酵母表面的染料分子会不断向 TiO<sub>2</sub> 周围迁移,促进反应的进行. 根据反应动力学,吸附迁移-光降解的反应过程要远高于 TiO<sub>2</sub> 直接吸附有机物并使之降解的过程,从而大大提高 TiO<sub>2</sub> 对污染

物的去除效率,使得该吸附剂可以被多次重复利用<sup>[25]</sup>.

图 6 为吸附剂被吸附-再生循环使用 6 次的结果. 可以看出,随着循环次数的增加,固定床的突破时间和吸附剂的单位吸附量均成递减的趋势. 前 4 次,单位吸附量和突破时间变化较小,所以吸附剂至少可以重复利用 4 次. 当吸附剂被循环利用第 5、6 次时,突破时间和吸附量变化都较明显,造成这种现象可能有以下几点原因:首先,吸附在吸附剂表面的染料没有被完全降解,随着利用次数越多,吸附位点越来越少;其次,也可能是随着利用次数的增加,吸附剂表面的对吸附起主要作用的官能团遭到破坏导致吸附能力越来越弱<sup>[26]</sup>;最后,重复利用过程中不可避免的损失导致吸附剂量越来越少.

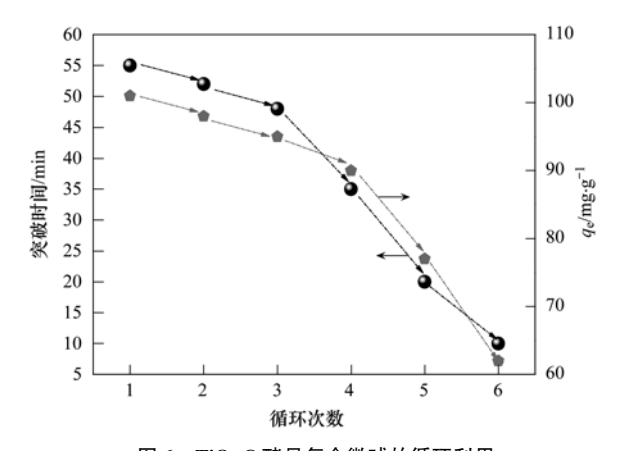


图 6  $TiO_2$  @ 酵母复合微球的循环利用

Fig. 6 Recycling of TiO<sub>2</sub>@ yeast composite microspheres

#### 3 结论

(1)TiO,@酵母复合微球在固定床中对阴离子

型 FWA-VBL 有较好的吸附效果. 固定床的突破曲 线受溶液 pH、床层高度、进水浓度和进水流速等因素的影响. 在酸性溶液、较高的穿层高度、较小的进水浓度和较低的进水流速的条件下,突破时间均相对较长.

- (2)TiO<sub>2</sub>@酵母复合微球在固定床中对阴离子型 FWA-VBL 的吸附均符合 BDST、Thomas 和 Yoon-Nelson模型,相关系数  $R^2$  均在 0. 980 以上. 根据模型计算得出的参数为固定床的设计应用提供了理论基础.
- (3)TiO<sub>2</sub>@酵母复合微球在固定床中的吸附完成后,经过原位再生的方法将其吸附在微球表面的染料降解使得其可以重复再利用. TiO<sub>2</sub>@酵母复合微球可以重复利用至少4次并仍具有较好的吸附效果. 参考文献:
- [1] 李江颂,王健行,李日强,等. 荧光增白剂生产废水不同预 处理方法的比较[J]. 中国环境科学,2010,30(11):1459-1465.
- [2] 王健行,李日强. 荧光增白剂生产废水的处理[J]. 水处理技术,2009,35(11):99-103.
- [3] 陈灿, 王建龙. 酿酒酵母吸附Pb(Ⅱ)的表面特性研究[J]. 环境科学学报, 2011, **31**(8): 1587-1593.
- [4] Aksu Z. Reactive dye bioaccumulation by Saccharomyces cerevisiae [J]. Process Biochemistry, 2003, 38 (10): 1437-1444.
- [5] Bai B, Quici N, Li Z Y, et al. Novel one step fabrication of raspberry-like TiO<sub>2</sub>@ yeast hybrid microspheres via electrostaticinteraction-driven self-assembled heterocoagulation for environmental applications [J]. Chemical Engineering Journal, 2011, 170(2-3): 451-456.
- [ 6 ] Chen L, Bai B. Equilibrium, kinetic, thermodynamic, and in situ regeneration studies about methylene blue adsorption by the raspberry-like TiO<sub>2</sub>@ yeast microspheres [ J ]. Industrial & Engineering Chemistry Research, 2013, 52(44): 15568-15577.
- [7] 吴菲,秦昉,白波. TiO<sub>2</sub>@ 酵母菌复合催化剂对刚果红的吸附特性研究[J]. 环境科学学报,2014,34(4):925-930.
- [8] Maji S K, Pal A, Pal T, et al. Modeling and fixed bed column adsorption of As( III ) on laterite soil [J]. Separation and Purification Technology, 2007, 56(3); 284-290.
- [9] Chern J M, Chien Y W. Competitive adsorption of benzoic acid and p-nitrophenol onto activated carbon: isotherm and breakthrough curves [J]. Water Research, 2003, 37 (10): 2347-2356.
- [10] Mercier-Bonin M, Ouazzani K, Schmitz P, et al. Study of bioadhesion on a flat plate with a yeast/glass model system [J]. Journal of Colloid and Interface Science, 2004, 271(2): 342-350.
- [11] Barakat M A. Adsorption behavior of copper and cyanide ions at TiO<sub>2</sub>-solution interface [J]. Journal of Colloid and Interface Science, 2005, 291(2): 345-352.

- [12] Wang J L, Chen C. Biosorbents for heavy metals removal and their future [J]. Biotechnology Advances, 2009, 27(2): 195-226.
- [13] Lin S H, Juang R S, Wang Y H. Adsorption of acid dye from water onto pristine and acid-activated clays in fixed beds [J]. Journal of Hazardous Materials, 2004, 113(1-3): 195-200.
- [14] Mulgundmath V P, Jones R A, Tezel F H, et al. Fixed bed adsorption for the removal of carbon dioxide from nitrogen; breakthrough behaviour and modelling for heat and mass transfer [J]. Separation and Purification Technology, 2012, 85: 17-27.
- [15] Ko D C K, Porter J F, McKay G. Optimised correlations for the fixed-bed adsorption of metal ions on bone char [J]. Chemical Engineering Science, 2000, 55(23): 5819-5829.
- [16] Taty-Costodes V C, Fauduet H, Porte C, et al. Removal of lead (II) ions from synthetic and real effluents using immobilized Pinus sylvestris sawdust; adsorption on a fixed-bed column [J]. Journal of Hazardous Materials, 2005, 123(1-3): 135-144.
- [17] Kumar P A, Chakraborty S. Fixed-bed column study for hexavalent chromium removal and recovery by short-chain polyaniline synthesized on jute fiber [J]. Journal of Hazardous Materials, 2009, 162(2-3): 1086-1098.
- [18] Aksu Z, Gönen F. Biosorption of phenol by immobilized activated sludge in a continuous packed bed; prediction of breakthrough curves [J]. Process Biochemistry, 2004, 39(5); 599-613.
- [19] Thomas H C. Heterogeneous ion exchange in a flowing system [J]. Journal of the American Chemical Society, 1944, 66(10): 1466-1664.
- [20] Tor A, Danaoglu N, Arslan G, et al. Removal of fluoride from water by using granular red mud; Batch and column studies [J]. Journal of Hazardous Materials, 2009, 164(1): 271-278.
- [21] Han R P, Zou L N, Zhao X, et al. Characterization and properties of iron oxide-coated zeolite as adsorbent for removal of copper(II) from solution in fixed bed column [J]. Chemical Engineering Journal, 2009, 149(1-3): 123-131.
- [22] Yoon Y H, Nelson J H. Application of gas adsorption kinetics. Part I. a theoretical model for respirator cartridge service life [J]. American Industrial Hygiene Association Journal, 1984, 45 (8): 509-516.
- [23] Han R P, Ding D D, Xu Y F, et al. Use of rice husk for the adsorption of congo red from aqueous solution in column mode [J]. Bioresource Technology, 2008, 99(8): 2938-2946.
- [24] Han R P, Wang Y, Zhao X, et al. Adsorption of methylene blue by phoenix tree leaf powder in a fixed-bed column: experiments and prediction of breakthrough curves [J]. Desalination, 2009, 245(1-3): 284-297.
- [25] Konstantinou I K, Albanis T A. TiO<sub>2</sub>-assisted photocatalytic degradation of azo dyes in aqueous solution; kinetic and mechanistic investigations; a review [J]. Applied Catalysis B; Environmental, 2004, 49(1); 1-14.
- [26] Kyzas G Z. Commercial coffee wastes as materials for adsorption of heavy metals from aqueous solutions [J]. Materials, 2012, 5 (10): 1826-1840.

### **HUANJING KEXUE**

Environmental Science (monthly)

Vol. 36 No. 2 Feb. 15, 2015

### **CONTENTS**

Size Distribution Characteristics of Particulate Mercury on Haze and Non-haze Days	····· ZHU Qiong-yu, CHENG Jin-ping, WEI Yu-qing, et al. (3/3)
Impact of Atmospheric Pollutants Transport Pathways on Aerosol Optical Properties at Shangdianzi Background Station	
Chemical Characteristics of 3-year Atmospheric Precipitation in Summer, Taiyuan	
Pollution Characteristics of Organic and Elemental Carbon in PM <sub>2.5</sub> in Taiyuan	LIU Shan, PENG Lin, WEN Yan-ping, et al. ( 396 )
Levels and Distribution of Organochlorine Pesticides and Dioxin-Like Polychlorinated Biphenyls in Atmospheric Particulates in Xini	ing and Tianjun, Qinghai Province, China ····································
Particulate Matter Adsorption Capacity of 10 Evergreen Species in Beijing	
Carbon Sources Metabolic Characteristics of Airborne Microbial Communities in Constructed Wetlands	
Spatial Distribution Characteristics of the Physical and Chemical Properties of Water in the Kunes River After the Supply of Snown	
	······· LIU Xiang, GUO Ling-peng, ZHANG Fei-yun, et al. (421)
Composition Characteristics and Source Analysis of Major Ions in Four Small Lake-watersheds on the Tibetan Plateau , China	
Seasonal Stratification and Eutrophication Characteristics of a Deep Reservoir, Longtan Reservoir in Subtropical Area of China …	
Phosphorus Fractions, Sorption Characteristics and Its Release in the Sediments of Yangtze Estuary Reservoir, China	
Spatial-Temporal Distributions of Dissolved Inorganic Carbon and Its Affecting Factors in the Yellow River Estuary	
Distributions of Phosphorus Fractions in Suspended Sediments and Surface Sediments of Tiaoxi Mainstreams and Cause Analysis · · ·	
Characteristics of Nitrogen Pollution and the Potential Mineralization in Surface Sediments of Dianchi Lake	···· MENG Ya-yuan, WANG Sheng-rui, JIAO Li-xin, et al. ( 471 )
Influence of Transient Storage on Solute Transport and the Parameter Sensitivity Analysis in a Suburban Drainage Ditch	LI Ru-zhong, QIAN Jing, DONG Yu-hong, et al. (481)
Sources, Pollution Statue and Potential Ecological Risk of Heavy Metals in Surface Sediments of Aibi Lake, Northwest China	····· ZHANG Zhao-yong, Jilili Abuduwaili, JIANG Feng-qing ( 490 )
Speciation Distribution and Risk Assessment of Heavy Metals in Sediments in Suburban Outfall of Industrial Oasis Region	
Assessment of Sources, Spatial Distribution and Ecological Risk of Heavy Metals in Soils in a Typical Industry-based City of Shano	long Province, Eastern China
Removal of Triclosan with the Method of $\mathrm{UV/ClO}_2$ and Its Degradation Products $\cdots$	
Mechanism of Groundwater As( V ) Removal with Ferric Flocculation and Direct Filtration	KANG Ying, DUAN Jin-ming, JING Chuan-yong ( 523 )
$Preparation \ of \ Nano \ Zero-valent \ Iron/Sargassum \ horneri \ Based \ Activated \ Carbon \ for \ Removal \ of \ Cr(\ VI) \ from \ Aqueous \ Solution \\ \cdots$	ZENG Gan-ning, WU Xiao, ZHENG Lin, et al. (530)
Adsorption of Cr( VI) on Magnetic Graphene from Aqueous Solution	LIU Wei, YANG Qi, LI Bo, et al. (537)
Adsorption of the TiO2@ Yeast Composite Microspheres for Adsorbing Fluorescent Whitening Agent-VBL in Fixed Bed	WU Fei, ZHANG Kai-qiang, BAI Bo, et al. (545)
Preparation and Pb <sup>2+</sup> Electrosorption Characteristics of MnO <sub>2</sub> /CFP Composite Electrode	LIU Fang-yuan, HU Cheng-zhi, LI Yong-feng, et al. (552)
Preparation of Weak Light Driven TiO <sub>2</sub> Multi Composite Photocatalysts via Adsorption Phase Synthesis	WANG Ting, ZHU Yi-chen, SUN Zhi-xuan, et al. (559)
Photoelectrocatalytic Degradation of Bisphenol A in Water by Fe Doped-TiO <sub>2</sub> Nanotube Arrays Under Simulated Solar Light Irradial	tion ··· XIANG Guo-liang, YU Ze-bin, CHEN Ying, et al. (568)
Oxidation of Cationic Red 3R in Water with H <sub>2</sub> O <sub>2</sub> Catalyzed by Mineral Loaded with Fe/Co	MA Nan, LIU Hua-bo, XIE Xin-yuan ( 576 )
Characteristics of Acid Red 3R Wastewater Treatment by Ozone Microbubbles	
Effects of Carbon Sources, Temperature and Electron Acceptors on Biological Phosphorus Removal	
Startup, Stable Operation and Process Failure of EBPR System Under the Low Temperature and Low Dissolved Oxygen Condition	
Effects of Dissolved Oxygen in the Oxic Parts of A/O Reactor on Degradation of Organic Pollutants and Analysis of Microbial Comm	munity for Treating Petrochemical Wastewater · · · · · · · · · · · · · · · · · · ·
	DING Peng-yuan, CHU Li-bing, ZHANG Nan, et al. (604)
Isolation of Filamentous Fungi Capable of Enhancing Sludge Dewaterability and Study of Mechanisms Responsible for the Sludge D	ewaterability Enhancement ·····
	ZHOU Yu-jun, FU Hao-yi, FAN Xian-feng, et al. (612)
Impacts of Alkaline Thermal Treatment on Characteristics of Sludge from Sewage Treatment Plant	
Responses of Ecosystem Carbon Budget to Increasing Nitrogen Deposition in Differently Degraded Leymus chinensis Steppes in Inne	
	OI Yu-chun, PENG Oin, DONG Yun-she, et al. (625)
Impacts of Elevated Ozone Concentration on N <sub>2</sub> O Emission from Arid Farmland	
Multi-Year Measurement of Soil Respiration Components in a Subtropical Secondary Forest	
Spatial Variability of Soil Nitrogen and Related Affecting Factors at a County Scale in Hilly Area of Mid-Sichuan Basin	
Effects of Land Use Change on Soil Active Organic Carbon in Deep Soils in Hilly Loess Plateau Region of Northwest China	
Carbon Source Metabolic Diversity of Soil Microbial Community Under Different Climate Types in the Area Affected by Wenchuan	0 0 0
7,7	·· ZHANG Guang-shuai LIN Yong-ming MA Rui-feng et al. ( 669 )
Optimization of Electrode Configuration in Soil Electrokinetic Remediation	
Distribution and Health Risk of HCHs and DDTs in a Contaminated Site with Excavation	
Transformation and Mobility of Arsenic in the Rhizosphere and Non-Rhizosphere Soils at Different Growth Stages of Rice	
Extraction of Plant Root Apoplast Solution; A Case Study with Polycyclic Aromatic Hydrocarbons	
Mechanism of Manganese Binding to Leaf Cell Wall of Phytolacca americana L.	
Degradation Characteristics of Naphthalene with a Pseudomonas aeruginosa Strain Isolated from Soil Contaminated by Diesel	
Toxic Effects of CdSe/ZnS QDs to Zebrafish Embryos	
Physiological Response of Neocaridina denticulate to the Toxicity of Cu <sup>2+</sup> and Chlorpyrifos	
Determination of Anilines in Environmental Water Samples by Simultaneous Derivatization and Ultrasound Assisted Emulsification	
Ionization Detectors	
Adsorption of Calcium Ion from Aqueous Solution Using Na +-Conditioned Clinoptilolite for Hot-Water Softening	
Construction and Application of Economy-Pollution-Environment Three-Dimensional Evaluation Model for District	The state of the s
Construction and Approximate a Devicing Fortunal Environment functional Establishment for District	TILL THE Sains, THE WOIL-DOO, THE EMORITHMS ( 131 )

### 《环境科学》第6届编辑委员会

主 编:欧阳自远

副主编:赵景柱 郝吉明 田 刚

编 委:(按姓氏笔画排序)

万国江 王华聪 王凯军 王绪绪 田 刚 田 静 史培军

朱永官 刘志培 汤鸿霄 陈吉宁 孟 伟 周宗灿 林金明

欧阳自远 赵景柱 姜 林 郝郑平 郝吉明 聂永丰 黄 霞

黄耀 鲍强潘纲潘涛魏复盛

## 环维种草

### (HUANJING KEXUE)

(月刊 1976年8月创刊)

2015年2月15日 第36卷 第2期

### ENVIRONMENTAL SCIENCE

(Monthly Started in 1976)

Vol. 36 No. 2 Feb. 15, 2015

主	管	中国科学院	Superintended	by	Chinese Academy of Sciences
主	办	中国科学院生态环境研究中心	Sponsored	by	Research Center for Eco-Environmental Sciences, Chinese
协	办	(以参加先后为序)			Academy of Sciences
		北京市环境保护科学研究院	Co-Sponsored	by	Beijing Municipal Research Institute of Environmental
		清华大学环境学院			Protection
主	编	欧阳自远			School of Environment, Tsinghua University
	辑	《环境科学》编辑委员会	Editor-in -Chief		OUYANG Zi-yuan
⊃mj	<del>14</del>	北京市 2871 信箱(海淀区双清路	Edited	by	The Editorial Board of Environmental Science (HUANJING
		18号,邮政编码:100085)			KEXUE)
		电话:010-62941102,010-62849343			P. O. Box 2871, Beijing 100085, China
		传真:010-62849343			Tel: 010-62941102, 010-62849343; Fax: 010-62849343
		E-mail; hjkx@ rcees. ac. cn			E-mail: hjkx@ reees. ac. en
		http://www.hjkx.ac.cn			http://www. hjkx. ac. cn
出	版	4 望出版社	Published	by	Science Press
щ	///	北京东黄城根北街 16 号			16 Donghuangchenggen North Street,
		邮政编码:100717			Beijing 100717, China
印刷装	订	北京北林印刷厂	Printed	by	Beijing Bei Lin Printing House
	行	<b>斜学出版社</b>	Distributed	by	Science Press
		电话:010-64017032			Tel:010-64017032
		E-mail: journal@ mail. sciencep. com			E-mail:journal@mail.sciencep.com
订 购	处	全国各地邮电局	Domestic		All Local Post Offices in China
国外总发	行	中国国际图书贸易总公司	Foreign		China International Book Trading Corporation (Guoji
		(北京 399 信箱)			Shudian), P. O. Box 399, Beijing 100044, China

中国标准刊号: ISSN 0250-3301 CN 11-1895/X

国内邮发代号: 2-821

国内定价:120.00元

国外发行代号: M 205

国内外公开发行